

# ЕФЕКТИВНІСТЬ SPAM-МОДЕЛІ ДЛЯ РОЗПІЗНАВАННЯ ФАКТУ ВИКОРИСТАННЯ ДВОСТУПЕНЕВИХ МЕТОДІВ ВБУДОВУВАННЯ СТЕГОДАНИХ В ЦИФРОВІ ЗОБРАЖЕННЯ

Д. О. Панічева<sup>1, а</sup>, Д. О. Прогонов<sup>1, б</sup>, С. М. Куц<sup>1, в</sup>

<sup>1</sup>Національний технічний університет України «Київський політехнічний інститут»

## Анотація

У роботі досліджено ефективність використання сучасних статистичних моделей контейнера, зокрема SPAM-моделі цифрових зображень, для виявлення стегограм, сформованих згідно двоступеневими методами приховання повідомлень в області перетворення контейнера (ОПК). Розглянуто випадок налаштування стегодетектора з використанням окремих каналів кольору чистих та заповнених контейнерів, що є найбільш близьким до реальних сценаріїв функціонування стегодетекторів. Встановлено, що використання комплексних статистичних моделей контейнера дозволяє з високою точністю розпізнавати наявність прихованих повідомлень навіть при слабкому заповненні контейнера стегоданими (менше 10%). Отримані результати можуть бути використані для виявлення стегограм з даними, вбудованими в ОПК.

*Ключові слова:* стегоаналіз, статистичний аналіз, SPAM-модель

## Вступ

Тенденцією розвитку існуючих стегографічних систем (СС) є широке використання багатоступінних методів вбудовування стегоданих в області перетворення контейнера, зокрема цифрових зображень (ЦЗ). Це дає можливість суттєво підвищити стійкість (робастність) отримуваних стегограм до відомих методів пасивного (хі-квадрат тест, RS-аналіз) та активного (фільтрація, стиснення ЦЗ) аналізу у порівнянні з класичними LSB-алгоритмами приховання повідомлень. Актуальною і важливою задачею є вдосконалення існуючих методів пасивного стегоаналізу для підвищення точності виявлення стегограм при багатоступінному вбудовуванні стегоданих в ОПК.

Класичним підходом до виявлення стегограм є використання статистичного стегоаналізу [1, 2]. Дані методи дозволяють з високою точністю розпізнавати наявність стегоданих, вбудованих в просторовій області ЦЗ, проте їх ефективність значно зменшується у випадку приховання повідомлень в ОПК. В літературі відсутні результати оцінки ефективності методів статистичного стегоаналізу при використанні стегоданих різних типів.

В роботі [3] було показано, що застосування комплексних статистичних моделей контейнера (КСМК) дозволяє підвищити точність розпізнавання стегограм з даними, прихованими в ОПК ЦЗ з використанням одноетапних методів. Представляє інтерес дослідження ефективності застосування КСМК у випадку багатоступінного приховання повідомлень в ОПК ЦЗ.

Метою роботи є визначення ефективності КСМК, на прикладі SPAM-моделі, для виявлення стегограм, сформованих згідно з двоетапними методами приховання повідомлень, при вбудовуванні різних типів стегоданих.

## 1. Статистична модель SPAM цифрових зображень

Модель SPAM (Subtractive Pixel Adjacency Matrix) ЦЗ заснована на аналізі змін його шумових компонент при вбудовуванні повідомлень з використанням теорії марківських процесів [4]. У якості вектора ознак для стегоаналізатора використовується матриця ймовірностей переходу, отримана у процесі моделювання міжпіксельних залежностей як марківського ланцюга вищого порядку.

Для зменшення розмірності простору ознак при налаштуванні стегодетектора в SPAM-моделі проводиться оцінка різниці між показниками яскравості сусідніх пікселів зображення (аналог високочастотної фільтрації ЦЗ). Це не призводить до суттєвих втрат в точності розпізнавання стегограм, оскільки зміна яскравості між суміжними пікселями  $I_{i,j}$  та  $I_{i,j+1}$  є незначною і не залежить від значення пікселя  $I_{i,j}$  [4].

На першому етапі побудови SPAM-моделі розраховуються ймовірності переходів у 8-ми напрямках відносно фіксованого пікселя: горизонтальному, вертикальному та діагональному [4]. Отримані залежності досліджуються як марківський процес першого  $F^{1st}$  та другого  $F^{2nd}$  порядків [4]. Наприклад, для горизонтального напрямку отримуємо:

$$D_{i,j} = I_{i,j} - I_{i,j+1}, i \in \{1, \dots, m\}, j \in \{1, \dots, n-1\}.$$

$$M_{u,v}^{\rightarrow} = P(D_{i,j+1}^{\rightarrow} = u | D_{i,j}^{\rightarrow} = v).$$

<sup>а</sup>panicheva.d@gmail.com

<sup>б</sup>progonov@gmail.com

<sup>в</sup>gonorskaya@ukr.net

$$M_{u,v,w}^{\rightarrow} = P(D_{i,j+2}^{\rightarrow} = u | D_{i,j+1}^{\rightarrow} = v), D_{i,j}^{\rightarrow} = w, \\ u, v, w \in \{-T, \dots, T\}.$$

На другому етапі побудови SPAM-моделі проводиться об'єднання результатів, отриманих для різних напрямків відносно заданого пікселя [4]:

$$F_{1,\dots,kj} = \frac{1}{4}[M^{\rightarrow} + M^{\leftarrow} + M^{\downarrow} + M^{\uparrow}], \\ F_{k+1,\dots,2kj} = \frac{1}{4}[M^{\searrow} + M^{\swarrow} + M^{\nearrow} + M^{\nwarrow}],$$

де  $k = 2(2T + 1)^2$  для параметрів SPAM-моделі першого порядку та  $k = 2(2T + 1)^3$  – для параметрів SPAM-моделі другого порядку.

Відповідно до рекомендацій [4], при налаштуванні SPAM-моделі було використано марківськівський ланцюг другого порядку, оскільки його використання дозволяє більш точно моделювати залежності різниць яскравостей суміжних пікселів ЦЗ. Загальна розмірність SPAM-моделі становила 686 параметрів (при  $T = 3$ ).

## 2. Процедура налаштування стегодетектора

В роботі було використано ансамбль стегодетекторів [5], що складався з  $L$  базових класифікаторів  $B_l$ ,  $l = 1, \dots, L$ , які незалежно навчалися на вибірці чистих та заповнених контейнерів. У якості базових класифікаторів було обрано лінійні дискримінатори Фішера (ЛДФ) [6], що обумовлено їх низькою навчальною складністю.

Кожний базовий класифікатор навчався на вибірці  $x_i^{D_1}$ ,  $\bar{x}_i^{D_1}$   $| i \in N_1^b$ , де  $D_1 \subseteq \{1, \dots, d\}$ ,  $|D_1| = d_{sub}$  – псевдовипадково обрана підмножина тестових ЦЗ. Для тестового ЦЗ  $l$ -ий базовий класифікатор приймає рішення шляхом порівняння визначених параметрів ЦЗ  $y \in Y^{Tc}$  з попередньо встановленими пороговими значеннями. Кінцеве рішення стегодетектора формується на основі порівняння суми рішень всіх  $L$  базових класифікаторів з пороговим значенням [5].

Для оцінки похибки розпізнавання, на етапі налаштування стегодетектора, була використана стандартна out-of-bag (ООВ)-оцінка, що визначається таким чином [7].

$$E^{(L)} = \frac{1}{2 \cdot N^{Tp}} \cdot \sum_{m=1}^{N^{EP}} (B^{(L)}(x^{(m)} + 1) - B^{(L)}(\bar{x}^{(m)})).$$

При налаштуванні стегодетектора проводиться регування кількості базових класифікаторів  $L$  – для кожного значення  $d_{sub}$  кількість базових класифікаторів  $L$  покроково збільшується на одиницю та визначається відповідна ООВ-оцінка. Оптимальне значення  $L_{opt}$  визначається за критерієм мінімуму ООВ-оцінки похибки розпізнавання стеганограм на навчальній вибірці тестових ЦЗ.

## 3. Метод Джозефа

Даний метод вбудовування даних заснований на дворівневому дискретному вейвлет-перетворенні (ДДВП) та сингулярному розкладі (СР) ЦЗ. Формування стеганограм проводиться у декілька етапів.

На першому етапі до зображення-контейнера (ЗК) застосовується дворівневе вейвлет-перетворення Хаара, а до стегоданих, представлених у вигляді ЦЗ – однорівневе вейвлет-перетворення Хаара [8]. Далі у  $HL$  та  $LH$  піддіапазонах контейнера ( $C$ ) та стегоданих ( $D$ ) відбувається СР, відповідно [8]:

$$HL_{C \setminus D} = U_{HL_{C \setminus D}} \times S_{HL_{C \setminus D}} \times V_{HL_{C \setminus D}}^T, \\ LH_{C \setminus D} = U_{LH_{C \setminus D}} \times S_{LH_{C \setminus D}} \times V_{LH_{C \setminus D}}^T,$$

де  $U, V$  – відповідно, матриці лівих та правих сингулярних векторів;  $S$  – діагональна матриця сингулярних чисел.

На наступному етапі визначається сума коефіцієнтів розкладу ЗК та стегоданих [8]:

$$S_{WM} = S_C + \alpha \cdot S_D,$$

де  $\alpha$  – ваговий коефіцієнт вбудовування стеганограми, мінімальне значення якого відповідає випадку, при якому вбудовані дані неможливо вилучити на приймальній стороні СС, а максимальне – появі помітних візуальних спотворень контейнера.

Для формування стеганограми в просторовій області проводиться множення модифікованої матриці сингулярних чисел та матриці лівих та правих власних векторів з подальшим застосуванням зворотного ДДВП [8].

Використання  $HL$  та  $LH$  піддіапазонів зумовлено тим, що вбудовування в інших піддіапазонах призводить до погіршення маскування стегоданих (приховання в діапазоні НЧ) або зниження стійкості приховуваних повідомлень до активних атак (вбудовування в діапазоні ВЧ) [8].

## 4. Результати роботи

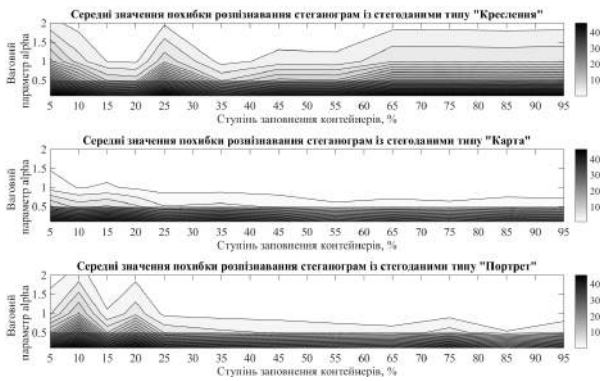
При проведенні досліджень у якості тестового пакету зображень було використано псевдовипадкову вибірку з 9000 ЦЗ із пакету MIRFlickr-25к. Тестові ЦЗ були масштабовані до розміру  $512 \times 512$  пікселів та поділені на навчальну та контрольну вибірки однакового розміру. Рівень заповнення тестових зображень стегоданими (частка змінених коефіцієнтів СР ЦЗ) варіювався від 5% до 25%, з кроком 5%, та від 25% до 95%, з кроком 10%.

У якості стегоданих було використано кольорові зображення трьох типів: “Креслення”, “Карта” та “Портрет”. Вбудовування стегоданих у контейнер відбувалося при варіації вагового коефіцієнта  $\alpha$  в інтервалі  $\{0.5; 1; 2; 5\}$ .

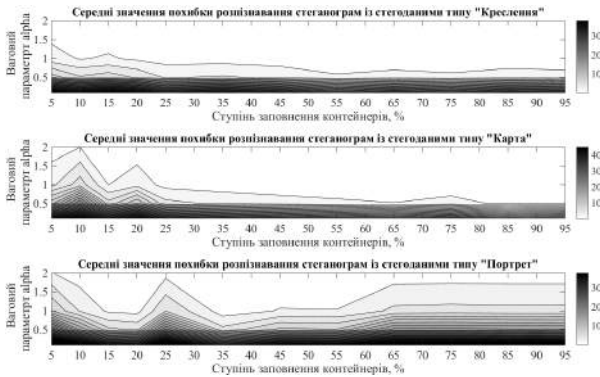
Тестування стегодетектора було проведено для випадку аналізу окремих каналів кольору ЦЗ, що відповідає найбільш наближеній до реальної ситуації сте-

Табл. 1. Значення похибки розпізнавання стеганограм для різних типів стегоданих

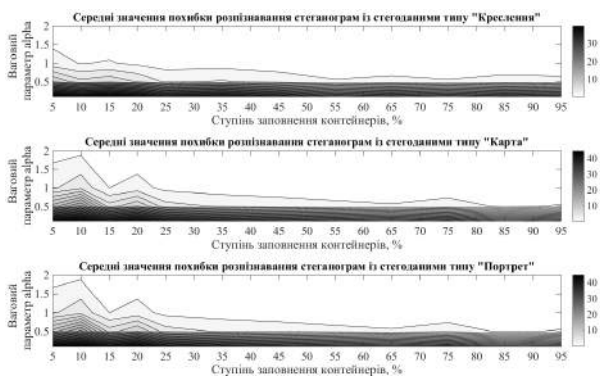
Тип стегоданих	Канал кольору		
	Червоний	Зелений	Синій
“Креслення”	0,41;0,003	0,39;0,003	0,41;0,003
“Карта”	0,48;0,002	0,47;0,002	0,46;0,002
“Портрет”	0,48;0,001	0,48;0,002	0,46;0,002



(a)



(b)



(c)

Рис. 1. Середні значення похибки розпізнавання стегограм для трьох типів стегоданих та використанні:

(a) – червоного каналу кольору ЦЗ; (b) – зеленого каналу кольору ЦЗ; (c) – синього каналу кольору ЦЗ.

гоаналізу ЦЗ. Результати тестування стегодетектора (максимальні\мінімальні значення ООВ-оцінки похибки розпізнавання) представлені у таблиці (таб. 1).

Найбільші значення похибки розпізнавання стегограм були отримані при  $\alpha = 0,5$ , тобто для випадку, при якому неможливим є вилучення вбудованих даних на приймальній стороні СС. При підвищенні енергії стегоданих значення похибки розпізнавання стегограм зменшується і не перевищує значення 0,13% ( $\alpha = 1$ ), що свідчить про високу ефективність використання SPAM-моделі для розпізнавання стегограм.

На рис. 1 представлені середні значення похибки розпізнавання стегограм для трьох типів стегоданих при аналізі окремих каналів кольору ЦЗ в залежності від ступеня заповнення контейнера.

Незалежно від типу стегоданих найбільші значенні ООВ-оцінки похибки спостерігаються для стегоно-

грам, сформованих із ваговим коефіцієнтом  $\alpha = 0,5$ , що відповідає найменшим спотворенням контейнера, та, як наслідок, найменшій зміні статистичних залежностей шумових компонент контейнера. Також характерним для всіх стегоданих виявилось підвищення значення ООВ-оцінки похибки при малих ступенях заповнення контейнера (до 25%), але треба відмітити, що у випадку слабого заповнення контейнера ймовірність визначення стегограм іншими відомими методами є дуже низькою.

## Висновки

В роботі встановлено, що застосування SPAM-моделі ЦЗ дає можливість з високою точністю виявляти стегограми з даними, прихованими в ОПК, з використанням двоступеневих методів.

Експериментально підтверджено, що найбільшу складність при стегоаналізі становлять стегограми, сформовані при малих значеннях вагового коефіцієнта вбудовування стегоданих та малих ступенях заповнення контейнера (до 25%). Проте, навіть за таких умов, похибка розпізнавання стегограм при використанні SPAM-моделі не перевищує 0.13%.

## Перелік використаних джерел

1. Fridrich J. Steganography in Digital Media: Principles, Algorithms and Applications. — Cambridge University Press, New York, USA. — 2010. — 437 p.
2. Панічева Д. О., Прогонов Д. О., Куц С. М. Статистичні характеристики стегограм при вбудовуванні повідомлень у просторовій області контейнеру. — XII наукова конференція “Теоретичні і прикладні проблеми фізики, математики та інформатики”. — К.: “Політехніка”, 2014. — с. 201-202.
3. Прогонов Д. О., Куц С. М. Статистичний аналіз стегограм з даними, прихованими в області перетворення контейнеру. — Збірник матеріалів науково-практичної конференції “Актуальні проблеми управління інформаційною безпекою держави”. — 19 березня 2015 року, м.Київ. — К.: Центр навч., наук. та період. видань НА СБ України, 2015. — с. 329-332;
4. T. Pevny Steganalysis by Subtractive Pixel Adjacency Matrix. \ T. Pevny, P. Bas and J. Fridrich \ \ IEEE Trans. on Info. Forensics and Security. — 2010 — Vol. 5, Issue 2.— pp. 215-224.
5. J. Kodovsky Ensemble classifiers for steganalysis of digital media. \ J. Kodovsky, J. Fridrich, and V. Holub \ \ IEEE Transactions on Information Forensics and Security. — 2012.
6. Duda R. O., Hart P. E. and Stork D. G. Pattern Classification. — 2<sup>nd</sup> edition. — New York: John Wiley&Sons, Inc. — 2001.
7. Breiman Bagging predictors. Machine Learning.— 24:123–140. August 1996.
8. Joseph A. Robust watermarking based on DWT-SVD. \ Joseph A., Anusudha K. \ \ International Journal on Signal&Image Security. — Vol. 1, Issue. 1, Oct 2013.